

บทที่ 2

วรรณกรรมปริทัศน์

2.1 บทนำเกี่ยวกับเซรามิกชีวภาพ (Introduction of bioceramics)

ในช่วง 50 ปีที่ผ่านมา การพัฒนาวัสดุเซรามิกชีวภาพหลายชนิด เช่น อลูมินา (Al_2O_3) เซอร์โคเนีย (ZrO_2) ไฮดรอกซิอะพาไทต์ (HAp) ไตรแคลเซียมฟอสเฟต (TCP) และแก้วชีวภาพ (bioactive glass) ช่วยยกระดับอุตสาหกรรมดูแลสุขภาพสมัยใหม่ (modern health care) และ คุณภาพชีวิตของมนุษย์ให้ดีขึ้น เซรามิกเหล่านี้สามารถนำไปใช้ได้กับร่างกายของสั่งมีชีวิตโดย ปราศจากการขันออกจากส่วนที่มีการเสริมลงไปหรือการแทรกซ้อนของโรคและการเกิดความ เสียหายในระบบกล้ามเนื้อกระดูก (musculoskeletal system) ในการใช้งานทั่วไปนั้นจะใช้เป็นวัสดุ สำหรับทดแทนกระดูก เนื่องจากว่ามีความเข้ากันได้ดีในทางชีวภาพ (biocompatibility) ความ หนาแน่นต่ำ (low density) มีความเสถียรทางเคมี (chemical stability) ทนต่อการเกิดรอยที่สูงมาก (high wear resistance) ในกรณีของแคลเซียมฟอสเฟตนั้นจะมีความพิเศษคือมีองค์ประกอบที่คล้าย กับแร่ธาตุในกระดูก ในการนำไปประยุกต์ใช้งานมักนำไปเป็นวัสดุสำหรับปลูกฟัน (implant) ดังนั้น ในเรื่องของศักยภาพในการนำไปประยุกต์ใช้งานจึงขึ้นอยู่กับการทนต่อความเครื่องซ่อน (complex stress) ณ ตำแหน่งที่สอดคล้องกับกระดูก เช่น ข้อเข่า ข้อต่อ ข้อสะโพก ข้อเท้า ฯลฯ บนกระดูก บริเวณนั้นอีกด้วย ความเข้ากันได้ดีในทางชีวภาพที่ดีนั้นย่อมขึ้นอยู่กับ การทำงานร่วมกันระหว่างองค์ประกอบของตัวแคลเซียมฟอสเฟตเองกับแร่ธาตุที่อยู่ภายในกระดูก ในปี 1920 เป็นปีที่มีการนำแคลเซียมฟอสเฟตไปทำการฝังในร่างกาย ได้สำเร็จเป็นครั้งแรกต่อมาใน ปี 1975 ได้มีการประยุกต์ใช้งานในทางทันตกรรมและมีการทดลองใช้งานกับสัตว์สำเร็จเป็นครั้ง แรก ดังนั้น ในช่วงเวลาเพียงสั้นๆ เซรามิกชีวภาพได้มีการนำไปประยุกต์ใช้อย่างมากน้ำ และ กว้างขวาง อาทิ การใช้เป็นวัสดุทันตแพทย์ วัสดุอวัยวะต่างๆ เช่น หัวเข่า พัน เส้นเอ็น และทำการ ซ่อมแซมอวัยวะ เช่น โรคทางปริทันตะวิทยา (periodontal disease) การฟื้นฟูข้ากรร ไกรburn (maxillofacial reconstruction) การเสริมและการทำให้เกิดความเสถียร (augmentation and stabilization) ของกระดูกขากรร ไกรและกระดูกสันหลัง

จากในอดีต มาจนถึงปัจจุบัน และต่อไปในอนาคตการประยุกต์ใช้ของเซรามิกชีวภาพจะเห็นได้ว่าแคลเซียมฟอสเฟตจะมีจุดเด่นมากที่สุด เนื่องจากเป็นวัสดุที่สามารถใช้ได้ทั้งทางการแพทย์และทันตกรรม โดยเฉพาะในทางวิศวกรรมชีวการแพทย์ (biomedical engineering) เนื่องจากมีสมบัติหลายอย่างเป็นปัจจัยที่เอื้ออำนวย จุดเด่นเหล่านี้ได้ผ่านการพิจารณาเทียบกับเซรามิกชีวภาพชนิดอื่นๆ ได้แก่ อลูминิยา (Al_2O_3) เชอร์โโคเนีย (ZrO_2) หินประการังหรือแคลเซียมคาร์บอนেต (coralline) อลูมิเนียมแคลเซียมฟอสเฟตเซรามิก (AlCAP) ซิงค์แคลเซียมฟอสเฟตออกไซด์เซรามิก (ZCAP) ซิงค์ซัลเฟตแคลเซียมฟอสเฟตเซรามิก (ZSCAP) เฟอร์ริกแคลเซียมฟอสเฟตออกไซด์เซรามิก (FECAP) นอกจากอลูมิเนียมแล้ว เชرامิกเหล่านี้ล้วนมีสมบัติเชิงกลที่ดีและเกิดการแตกหักได้ง่าย ข้อจำกัด ณ จุดนี้ทำให้โดยส่วนใหญ่นำไปประยุกต์ใช้เป็นส่วนที่ไม่ต้องการรับแรง (non-load bearing) เช่น การเหนี่ยวนำการสร้างกระดูก (osteoconductivity) ลงบนวัสดุโลหะที่ทำการฝังลงไป (metallic prosthesis) และนำไปทำเป็นผังระดับนาโนสำหรับกระดูกสันหลัง โดยเฉพาะ ท่ามกลางเฟสมากมายที่แตกต่างกันไปของแคลเซียมฟอสเฟตนั้น เฟสที่ได้รับการสนใจมากที่สุดคือ TCP และ HAp เนื่องจากมีจุดเด่นในการตอบสนองกับสภาพแวดล้อมของสรีระในร่างกายที่ดี เช่น TCP ที่มีคุณสมบัติเด่นในทางด้านการดูดซับ (resorbable) และ HAp ที่เด่นในทางการสร้างพันธะ (bioactivity) สำหรับการนำไปใช้ในอุตสาหกรรมคุณภาพขึ้นอยู่กับตัวของวัสดุเองว่าเป็นแบบการดูดซับหรือการสร้างพันธะสำหรับงานวิจัยเมื่อไม่นานมานี้ต่างมีจุดประสงค์การลดTHON ข้อจำกัดของแคลเซียมฟอสเฟตเซรามิกลงอีกทั้งยังต้องการเพิ่มสมบัติทางด้านชีวภาพให้สูงขึ้น โดยการนำ nano โลยีเข้ามาประยุกต์ใช้

การนำ nano โลยีเข้ามาเพิ่มสมบัติทางด้านชีวภาพ โดยเฉพาะกับ HAp เนื่องจากว่า HAp ขนาดอนุภาคนาโนเมตรที่เรือนของนาโนนั้นเป็นส่วนประกอบตามธรรมชาติของกระดูกร่วมกับเส้นใยคอลลาเจน (collagen fibers) ประกอบไปด้วย คอลลาเจน 20 wt% แคลเซียมฟอสเฟต 69 wt% และน้ำ 9 wt% นอกจากนี้ยังมีองค์ประกอบที่เป็นสารอินทรีย์อื่นๆ รวมอยู่ด้วย อาทิ เช่น โปรตีน ไขมัน และโพลีแซคคาไรด์ รวมกันในปริมาณที่น้อยมาก ในการผึ้งคอลลาเจนอาจพิจารณาให้เป็นเมทริกที่อยู่ในรูปของเส้นใยขนาดไมครอน โดยขนาดทั่วไปจะอยู่ระหว่าง 100-2000 nm ส่วนแคลเซียมฟอสเฟตจะอยู่ในรูปของผลึก HAp และ/หรือแคลเซียมฟอสเฟตในรูปแบบอสัมฐาน

(amorphous calcium phosphate , ACP) เป็นส่วนที่ก่อให้เกิดความแข็งแรงแก่กระดูก โดยทั่วไป เลี้วผลึก HAp จะอยู่ในรูปของแผ่นหรือเข็ม มีขนาดความกว้าง 40-60 nm กว้าง 20 nm และหนา 1.5-5 nm โดยคำแนะนำการเรียงตัวจะขานานไปกับเส้นไขคอลลาเจน ในส่วนของเฟสผลึกแคลเซียมฟอสเฟตอื่นๆนี้จะไม่สามารถแยกออกจาก HAp ทำให้กลไกเป็นเฟสผลึกอย่างต่อเนื่อง เมื่อทำการกำจัดในส่วนที่เป็นอินทรีย์สารออกทั้งหมดทำให้กระดูกมีความแข็งแรงที่ดีมาก ดังนั้นการนำ nanoเทคโนโลยีเข้ามาประยุกต์ใช้ทางด้านวัสดุชีวภาพที่ของศิริฯ เช่น ข้อดีทางชีวภาพ ได้แก่ เพิ่มประสิทธิภาพการเกาะติดของเซลล์สร้างกระดูก (osteoblast adhesion) การเพรรับขยาย (proliferation) การรวมตัวขององค์ประกอบกระดูก (osseointegration) และการถลายน้ำนม (degradation calcium) ส่วนข้อดีในการนำไปใช้ทางด้านวัสดุศาสตร์ ได้แก่ ลดอุณหภูมิที่ใช้ในการเผาชิ้นเตอร์ลิง เนื่องจากว่าการใช้อุณหภูมิในการเผาชิ้นเตอร์สูงจะทำให้เกิดการกำจัดสารบางส่วนออกทั่วไป นอกจากน้ำนมของผลึกมีผลต่อสมบัติที่ได้กล่าวมาแล้ว ปัจจัยอีกประการที่สามารถเพิ่มประสิทธิภาพของสมบัติทางกลและชีวภาพ ได้แก่ คือการควบคุมลักษณะของผง เช่น ขนาด (size) รูปร่าง(shape) การเกาะกลุ่ม (agglomeration) ของอนุภาคและการกระจายตัว (distribution)

ตารางที่ 2.1 สมบัติของเซรามิกชีวภาพในการประยุกต์ใช้เป็นวัสดุสำหรับการฝัง

1. ไม่ก่อให้เกิดพิษ (nontoxic)
2. ไม่เป็นสารก่อให้เกิดมะเร็ง (noncarcinogenic)
3. ไม่ก่อให้เกิดอาการภูมิแพ้ (nonallergic)
4. ไม่ก่อให้เกิดการอักเสบ (noninflammatory)
5. มีอายุการใช้งานทางชีวภาพในร่างกาย ได้นานตามสภาพอายุการใช้งาน (biofunctional)

โดยปกติเลี้วเซรามิกเป็นวัสดุที่แข็ง ในการวัดค่าความแข็ง (hardness) จะใช้ความแข็งของตัวเซรามิกเองเป็นมาตรฐานในการวัด เพชร (diamond) เป็นวัสดุที่แข็งที่สุด มีความแข็งในระดับ 10 โมห์สเกล (Mohs scale) ส่วนช็อกหรือผงแป้ง ($Mg_3Si_3O_{10}COH$) มีความแข็งต่ำสุดที่ระดับ 1

โน้มห์สเกล ขณะที่เซรามิกอื่นๆ เช่น อลูมินา (Al_2O_3) มีความแข็งระดับ 9 โน้มห์สเกล, ควอตซ์ (SiO_2) มีความแข็งระดับ 8 โน้มห์สเกล และอะพาไทต์ ($\text{Ca}_5\text{P}_3\text{O}_{12}$) มีความแข็งระดับ 5 โน้มห์สเกล ลักษณะสำคัญอื่นๆ ของเซรามิกได้แก่ (1) มีจุดหลอมเหลวที่สูง (high melting point temperature) (2) มีสภาพนำไฟฟ้าและความร้อนที่ต่ำ (low electrical and heat conductivity) ลักษณะที่ได้ก่อตัวมาນี้ล้วนเป็นสาเหตุมาจากการพันธะภายในเซรามิกทั้งสิ้น

ในกรณีของเซรามิกชีวภาพนั้นต้องมีสมบัติที่มากกว่าที่ได้กล่าวไปดังตารางที่ 2.1 ทั้งนี้การนำเซรามิกต่างๆ ไปประยุกต์ใช้งานทางด้านชีวภาพจะพิจารณาถึงความเหมาะสมต่อสภาพการใช้งานจริงเป็นหลัก ซึ่งชนิดหน้าที่ของเซรามิกชีวภาพนี้ ได้แก่ (1) เซรามิกที่มีความเสื่อมทางชีวภาพหรือไม่เกิดการดูดซับ (bioinert or non-resorbable) เช่น อลูมินา (Al_2O_3), เซอร์โคเนียม (ZrO_2), ซิลิโคนไนโตรค์ (Si_3N_4) และคาร์บอน (2) เซรามิกที่มีสภาพกึ่งเสื่อมหรือมีการทำพันธะที่แข็งแรงกับเนื้อเยื่อ (bioactive or surface reactive) เช่น แก้วเซรามิก (glass ceramic) และไฮดรอกซิโอพาไทต์ (HAp) (3) เซรามิกที่มีการดูดซับหรือไร้ความเสื่อม (resorbable or non-bioinert) เช่น แคลเซียมฟอสเฟต ($\text{Ca}_3(\text{PO}_4)_2$) และแคลเซียมอลูมิเนต ($\text{CaO} \cdot \text{Al}_2\text{O}_3$)

2.2 แคลเซียมฟอสเฟต (Calcium phosphate)

แคลเซียมฟอสเฟต (calcium phosphate) เป็นแร่ธาตุที่มีน้ำหนักเบา มีความเสถียรทางเคมี และมีองค์ประกอบคล้ายกับเฟสที่เป็นแร่ธาตุในกระดูกจริงมากใช้ทำเป็นวัสดุสังเคราะห์ในรูปของกระดูกเทียม (artificial bone) เพื่อใช้เป็นวัสดุสำหรับการฝังชนิดต่างๆ หรือสามารถใช้เป็นวัสดุพรุนสำหรับเคลือบ (porous coating) ลงไปบนวัสดุสำหรับการฝังชนิดอื่นๆ

ด้วยความท่องค์ประกอบไฮอนพื้นฐานของแคลเซียมฟอสเฟตสามารถพบรได้ตามทั่วทั่วโลกของมนุษย์ ส่งผลให้มีความเข้ากันได้กับร่างกายนั้นมีสูงมาก (high compatible) นอกจากนี้เซรามิกชีวภาพในกลุ่มแคลเซียมฟอสเฟตยังมีความคงทนต่อความเสียหายอันเกิดจากเชื้อจุลทรรศ (microbial attack) การเปลี่ยนแปลงค่า pH (pH change) และสภาพการเป็นตัวทำละลาย (solvent condition) อีกทั้งยังสามารถอยู่ในรูปผลึกของเกลือได้หลากหลายชนิด เช่น HAp และ β -TCP หรือ β -whitlockite ทั้งนี้ขึ้นอยู่กับอัตราส่วนระหว่างแคลเซียมและฟอฟอรัส (Ca:P ratio) ปริมาณของ

น้ำ (presence of water) สารเจือปน (impurities) และอุณหภูมิ (temperature) ในสภาวะที่มีน้ำเข้าร่วม (wet environment) ที่อุณหภูมิต่ำ ($< 900^{\circ}\text{C}$) แคลเซียมฟอสเฟตจะอยู่ในรูปของไฮดรอกซิล (hydroxyl- , OH) เกิดเป็น HAp ขึ้น ในขณะที่สภาวะที่ไม่มีน้ำเข้าร่วม (dry atmosphere) และที่อุณหภูมิสูง แคลเซียมฟอสเฟตจะอยู่ในรูปของ β -whitlockite แคลเซียมฟอสเฟตทั้งสองรูปนี้มีสมบัติที่สามารถถูกความเข้ากันได้กับเนื้อเยื่อ (tissue compatible) ได้อย่างดีเยี่ยมและมักถูกนำมาใช้เป็นวัสดุทดแทนกระดูกในรูปของเม็ดหรือบล็อกของแข็ง (granular or solid block) ส่วนแคลเซียมฟอสเฟตชนิดอื่นๆที่นิยมนำไปประยุกต์ใช้ทางการแพทย์ ได้แก่ α -TCP ไบเฟสิกแคลเซียมฟอสเฟต (biphasic calcium phosphate , BCP) โมโนแคลเซียมฟอสเฟตโมโนไฮเดรต (monocalcium phosphate monohydrate , MCPM) และอะพาไทต์ที่ยังไม่ผ่านกระบวนการเผาซินเตอร์ (unsinter apatite , AP) ตารางที่ 2.2 แสดงสมบัติทางกายภาพของแคลเซียมฟอสเฟตในรูปแบบค่างๆที่นิยมใช้ในอุตสาหกรรมการแพทย์ ซึ่งในการประยุกต์ใช้นั้นจะพิจารณาจากสมบัติการถลายหรือการดูดซับ (biodegradable or resorbable) และการสร้างพันธะกับเนื้อเยื่อ (bioactive or surface reactive) ของตัววัสดุเป็นหลัก ความนิยม HAp เนื่องจากว่ามีความเสถียรอายุยาวคือเยี่ยมที่ pH สูงกว่า 4.3 ซึ่งในเลือดมีค่า pH 7.3 ตารางที่ 2.3 แสดงความสามารถในการละลายและค่า pH ที่เสถียรของแคลเซียมฟอสเฟตในรูปแบบเพสค่างๆ

ตารางที่ 2.2 สมบัติทางกายภาพของแคลเซียมฟอสเฟตในรูปแบบเฟสต่างๆ

Phases	Chemical formula	Ca/P ratio	Crystal structure	Density (g/cm ³)
Hydroxyapatite (HAp)	$\text{Ca}_{10}(\text{PO}_4)_6(\text{OH})_2$	10/6	Hexagonal, P6 ₃ m space group, cell dimension: $a = b = 9.42 \text{ \AA}$, and $c = 6.88 \text{ \AA}$	3.16
α -Tricalcium phosphate (α -TCP)	$\text{Ca}_3(\text{PO}_4)_2$	3/2	Monoclinic, P2 ₁ /a space group, lattice constants: $a = 12.887 \text{ \AA}$, $b = 27.280 \text{ \AA}$, $c = 15.219 \text{ \AA}$, $\beta = 126.20^\circ$	2.86
β -Tricalcium phosphate (β -TCP)	$\text{Ca}_3(\text{PO}_4)_2$	3/2	Pure hexagonal, rhombohedral, space group R3cH, unit cell dimensions: $a = b = 10.439 \text{ \AA}$, $c = 37.375 \text{ \AA}$, and $\alpha = \beta = 90^\circ, \gamma = 120^\circ$	3.07
Tetracalcium phosphate (TTCP)	$\text{Ca}_4\text{P}_2\text{O}_9$	2/1	Monoclinic, space group P2 ₁ , $a = 7.023$, $b = 11.986$, $c = 9.473$, $\beta = 90^\circ$	3.05

ตารางที่ 2.3 ความสามารถในการละลายและค่า pH ที่สตabilitของแคลเซียมฟอสเฟตในรูปแบบเฟสต่างๆ

Phases	Solubility at 25 °C, -log(K _{sp})	pH stability range in aqueous solution at 25 °C
Hydroxyapatite (HAp)	116.8	9.5-12.0
β-Tricalcium phosphate (β-TCP)	28.9	Cannot be precipitated from aqueous solutions
α-Tricalcium phosphate (α-TCP)	25.5	Cannot be precipitated from aqueous solutions
Tetracalcium phosphate (TTCP)	38-44	Cannot be precipitated from aqueous solutions
Dicalcium phosphate dihydrate (DCPD)	6.59	2.0-6.0
Amorphous calcium phosphate (ACP)	Cannot be measured precisely. However, the following values were reported: 25.7±0.1 (pH 7.40), 29.9±0.1 (pH 6.00), 32.7±0.1(pH 5.28).	Always metastable. The composition of a precipitate depends on the solution pH value and composition.
Calcium-deficient hydroxyapatite (CDHA)	~85.1	6.5-9.5

โดยปกติแล้วแคลเซียมฟอสเฟตเซรามิกทั่วไป (conventional calcium phosphate) จะมีความสามารถในการเผาชินเตอร์ (sinterability) ที่ต่ำมากเนื่องจากว่ามีพื้นที่ผิวที่ต่ำ (~2-5 m²/g) นอกจานี้ขั้งพบรือกว่าในกระบวนการคดูดซับ (resorption process) ของแคลเซียมฟอสเฟตเซรามิกทั่วไปที่ได้จากการกระบวนการสังเคราะห์ขึ้น มีความแตกต่างจากที่พบในกระบวนการคดูดอย่างสิ้นเชิง เพราะโดยทั่วไปแล้วแคลเซียมฟอสเฟตในกระบวนการคดูดจะมีขนาดในเรือนนาโนและมีพื้นที่ผิวที่สูงมาก การเจริญของกระบวนการคดูดจะอยู่ภายใต้เมทริกที่เป็นสารอินทรีย์ (คอลลาเจน) ที่มีพันธะระหว่างผลึกของ HAp อย่างหลวงๆ จึงทำให้มีการคดูดซับโดย osteoclast ที่สมบูรณ์และสม่ำเสมอ ดังนั้นแคลเซียมฟอสเฟตเซรามิกที่มีขนาดอนุภาคไม่ครองจึงมีพื้นที่ผิวที่ต่ำและพันธะระหว่างผลึก HAp ที่แข็งแรงกระบวนการคดูดซับสามารถแบ่งได้เป็น 2 ขั้นตอน 1) การแตกสลายของอนุภาค และ 2) การแตกตัวของผลึก HAp

สมบัติทางกล (mechanical properties) ต่างๆ ของแคลเซียมฟอสเฟตสังเคราะห์นั้นมีค่าต่างๆ เป็นไปตามตารางที่ 2.4 สาเหตุที่ทำให้สมบัติเชิงกลของผลึกเชิงช้อนของแคลเซียมฟอสเฟตมีค่าต่างๆ ที่กว้างนั้นเนื่องมาจากมีโครงสร้างที่แตกต่างกันและเป็นผลมาจากการเตรียมนอกจานี้กระบวนการเผาในขั้นสุดท้ายนั้นยังส่งผลให้แคลเซียมฟอสเฟตนั้นสามารถออกมายื่นในรูปของ HAp หรือ β -whitlockite แต่ก็มีบางกรณีเมื่อเสริมสิ่งทางกระบวนการแล้วอาจได้แคลเซียมฟอสเฟตทั้งสองโครงสร้างอยู่ภายในชิ้นงานเดียวกัน ข้อเสียหลักของแคลเซียมฟอสเฟตคือมีความแรงเชิงกลที่ต่ำ (poor mechanical strength) ภายใต้สภาวะที่มีความเค้น ส่งผลให้แคลเซียมฟอสเฟตสังเคราะห์ (อนุภาคขนาดใหญ่) มีสมบัติการสร้างพันธะกับเนื้อเยื่อที่ต่ำกว่าผลึกแคลเซียมฟอสเฟตในกระบวนการธรรมชาติ เช่นเดียวกับเซรามิกชนิดอื่นๆ ความแข็งแรงเชิงตึง (tensile strength) และความแข็งแรงเชิงอัด (compressive strength) ของแคลเซียมฟอสเฟตจะถูกควบคุมโดยรูพรุน (pores) ช่องว่าง (voids) และช่องแคนเล็กๆ (interstices) ซึ่งทั้งหมดนี้เกิดขึ้นหลังจากการทำให้แน่นตัวโดยกระบวนการเผาชินเตอร์ เนื่องจากว่าเซรามิกแคลเซียมฟอสเฟตแตกต่างจากเซรามิกขั้นสูงทั่วไป (advance ceramics) ทำให้การเผาชินเตอร์นั้นกระทำได้ยากจึงส่งผลให้สมบัติเชิงกลมีค่าต่ำ นอกจานี้การต้านทานความล้า (fatigue resistance) ก็เป็นปัจจัยหนึ่งที่ขาดไม่ได้สำหรับการนำไปประยุกต์ใช้เป็นตัวรับน้ำหนักในวัสดุสำหรับการฝัง (tensile-load bearing implant) ค่าที่ใช้เป็นตัววัดค่าความต้านทานความล้าคือ Weibull factor (n) ซึ่งค่า n มีค่า 50-100

แสดงว่ามีค่าความต้านทานที่สูง แต่ถ้าค่า n มีค่า $10-20$ แสดงว่ามีค่าความต้านทานความล้าที่ต่ำและอาจเกิดการเสียหายอย่างรวดเร็วเมื่อนำไปประยุกต์ใช้งาน สำหรับไฮดรอกซิอะพาไทต์หัวใจมีค่า $n = 50$ ในสภาพแวดล้อมที่ยังไม่นำไปใช้ในร่างกาย และ $n = 12$ ในสภาพแวดล้อมในร่างกาย

ตารางที่ 2.4 สมบัติทางกายภาพของแคลเซียมฟอสเฟต

Properties	Value
Elastic modulus (GPa)	4.0-117
Compressive strength (MPa)	294
Bending strength (MPa)	147
Hardness (Vickers, GPa)	3.43
Poisson's ratio	0.27
Density (theoretical, g/cm ³)	3.16



2.3 ไฮดรอกซิโอพาไทต์ (Hydroxyapatite)

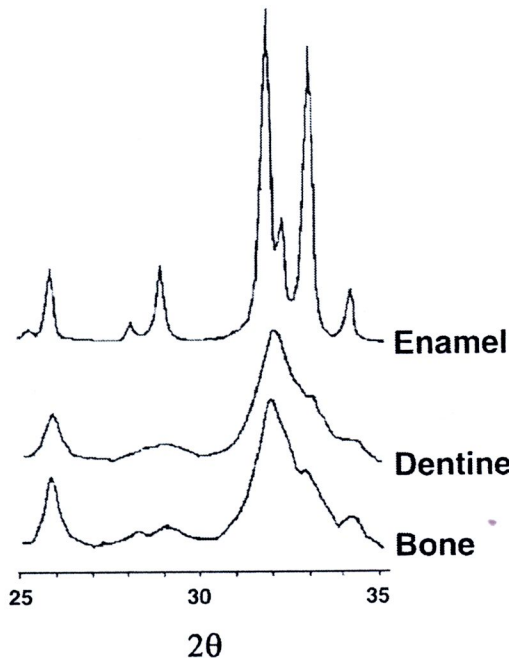
ไฮดรอกซิโอพาไทต์ (Hydroxyapatite , HAp) เป็นเซรามิกชนิดหนึ่งในกลุ่มพาไทต์ (apatite , AP) คำว่า “พาไทต์” มีรากศัพท์มาจากภาษากรีกคำว่า “apatē” มีความหมายว่า “ไม่จริง” เนื่องจากรูปแบบและสีของตัวมันมิอย่างหลากราด ในการประยุกต์ใช้ทางการแพทย์ได้มีการนำมาทดสอบเพื่อใช้เป็นกระดูกเทียม (artificial bone) HAp สามารถสังเคราะห์และนำมาระยุกต์ใช้งานในรูปแบบต่างๆ ได้ไม่ว่าจะเป็นในรูปของแข็งทรงตัน (solid) วัสดุโปรุุน (porous) และเคลือบลงบนวัสดุสำหรับการฟังชนิดอื่นๆ

แหล่งกำเนิดของ AP หลักๆ ได้แก่ (1) แหล่งกำเนิดจากชีวภาพ และ(2) องค์ประกอบของหินฟอสเฟต (phosphate rock) เช่น หินฟอสเฟตหรือฟอสฟอริต (phosphorite) กระดูกและฟันประกอบไปด้วย HAp เป็นแร่ธาตุหลัก องค์ประกอบทางเคมี โครงสร้างผลึก และสมบัติอื่นๆ ของสารเคลือบกระดูก/ฟัน (enamel) ฟัน (dentine) และกระดูก (bone) แสดงในตารางที่ 2.5 แหล่ง HAp ที่ได้จากการสังเคราะห์ที่เป็นที่นิยมส่วนมากมักได้จากการกระดูกที่กำจัดสารอินทรีย์ (deorganized bone) และหินปะการัง (coral) เพื่อประยุกต์ใช้ทำเป็นวัสดุสำหรับการฟัง จากรูป 2.1 แสดงรูปแบบการเลี้ยวเบนของรังสีเอกซ์ (XRD) ของผลึก HAp ของสารเคลือบกระดูก/ฟัน, ฟัน และกระดูก จะเห็นได้ว่าสารเคลือบกระดูก/ฟันจะมีพีค XRD ที่ชัดเจนที่สุด ในขณะที่พีค XRD ของฟันและกระดูกมีลักษณะที่หยาบกว่า เนื่องจากว่าสารเคลือบกระดูก/ฟันมีขนาดผลึกที่ใหญ่ (large crystallite) และความเป็นผลึกของธาตุที่สูง (high crystallization) สูงกว่ากระดูกและฟัน

สำนักงานคณะกรรมการวิจัยแห่งชาติ
ห้องสมุดฯ ชั้น 2
วันที่..... 21 ก.ค. 2555
เลขที่券..... 248261
เลขที่บันทึก.....

ตารางที่ 2.5 องค์ประกอบและสมบัติเชิงกายภาพของ AP ของสารเคลือบกระดูก/ฟัน (enamel) ฟัน (dentine) และกระดูก (bone)

Composition	Enamel	Dentine	Bone
Calcium, Ca ²⁺	36.5	35.1	34.10
Phosphorous, as P	17.7	16.9	15.2
(Ca/P) molar	1.63	1.61	1.71
Sodium, Na ⁺	0.5	0.6	0.9
Magnesium, Mg ²⁺	0.44	1.23	0.72
Potassium, K ⁺	0.010	0.05	0.03
Carbonate, as CO ₃ ²⁻	3.5	5.6	7.4
Fluoride, F ⁻	0.01	0.06	0.03
Chloride, Cl ⁻	0.30	0.01	0.13
Pyrophosphate, P ₃ O ₇ ⁴⁻	0.022	0.10	0.07
Total inorganic (mineral)			
Total organic			
Absorbed H ₂ O	97.0	70.0	65.0
Trace elements: Sr ²⁺ , Pb ²⁺ , Zn ²⁺ , Cu ²⁺ , Fe ³⁺ , etc.	1.5	20.0	25.0
	1.5	10.0	10.0
Crystallographic properties			
Lattice parameters (+0.0003 nm)			
<i>a-axis</i>	0.9441	0.9421	0.941
<i>c-axis</i>	0.610100	0.610107	0.6109
“Crystallinity index”	70-75	33-37	33-37
Crystallite size (nm)	0.13 x 0.03	0.020 x 0.004	0.025 x 0.003
Ignition products (1000°C)	β-TCMP*+HA	β-TCMP*+HA	HA + CaO



รูป 2.1 รูปแบบ XRD ของสารเคลือบกระดูก/ฟัน, ฟัน และกระดูก

ตารางที่ 2.6 แสดงวิธีการเตรียม HAp ตัวอย่างวิธีการเตรียมเช่น กระบวนการตกตะกอน (precipitation) และไฮドロไลซิส (hydrolysis) ภายใต้สภาวะปราศจากกรดจากนั้นนำไปทำการเผาซินเตอร์ที่อุณหภูมิระหว่าง 950 - 1300 °C กระบวนการตกตะกอนสามารถอธิบายได้ตามสมการเคมีดังนี้



หรือทำการหยดกรดฟอสฟอริก (phosphoric acid) ลงไปเพื่อทำให้สารละลายน้ำเซย์มไฮดรอกไซด์ ($\text{Ca}(\text{OH})_2$) เกิดการอิ่มตัว



HAp เช้านิ กอาจเตรียมได้โดยการเผาซินเตอร์สารที่ได้จากการกระบวนการไฮดโรไลซิสของไฮดรอฟอสเฟตไดไฮเดรต ($\text{CaHPO}_4 \cdot 2\text{H}_2\text{O}$, DCPD) ไคแคลเซียมฟอสเฟตแอนไฮดรัส (CaHPO_4 , DCPA) หรือออกตะแคลเซียมฟอสเฟต ($\text{Ca}_{10}\text{H}_2(\text{PO}_4)_6 \cdot 5\text{H}_2\text{O}$, OCP) ในสารละลายน้ำไปหรือแคลเซียมคาร์บอเนต (CaCO_3) ในสารละลายน้ำด้วยฟอสเฟต



สิ่งที่สำคัญที่หลีกเลี่ยงไม่ได้คือการควบคุมค่า pH ของการทำปฏิกิริยาและความเข้มข้นของตัวทำปฏิกิริยาแต่ละตัวซึ่งส่งผลอย่างมากต่อความหนาแน่นและรูปทรงของ HAp และ TCP โดยปกติแล้วเซรามิกที่มีขนาดรูปทรงในเรือนของมาครอน ($> 500 \mu\text{m}$) สามารถเตรียมได้โดยการเติมสารละลายน้ำที่ทำให้เกิดฟอง (foaming agent) เช่น ไฮโดรเจนเปอร์ออกไซด์ (hydrogen peroxide) หรืออุกเม็น (naphthalene) ก่อนที่จะทำการอัดขึ้นรูปชิ้นงาน จากนั้นนำไปทำการเผาที่อุณหภูมิต่ำ เพื่อกำจัดสารละลายน้ำที่ทำให้เกิดฟองน้ำออกไป ขั้นตอนสุดท้ายนำไปเผาซินเตอร์ที่อุณหภูมิระหว่าง 950-1100 °C สำหรับชิ้นงานเซรามิกที่มีความหนาแน่นสูงหรือขนาดของรูปทรงในเรือนของไมครอนสามารถเตรียมได้โดยการเผาซินเตอร์ที่อุณหภูมิสูงในช่วง 1100-1300 °C และให้ความดันประมาณ 140-200 MPa โดยกระบวนการอัดแบบให้แรงดันทุกทิศทางและความร้อน (hot isotropic, HIP) หรือการอัดแบบแกนเดียว (uniaxial pressing) และการอัดแบบให้ความร้อน (hot pressing)

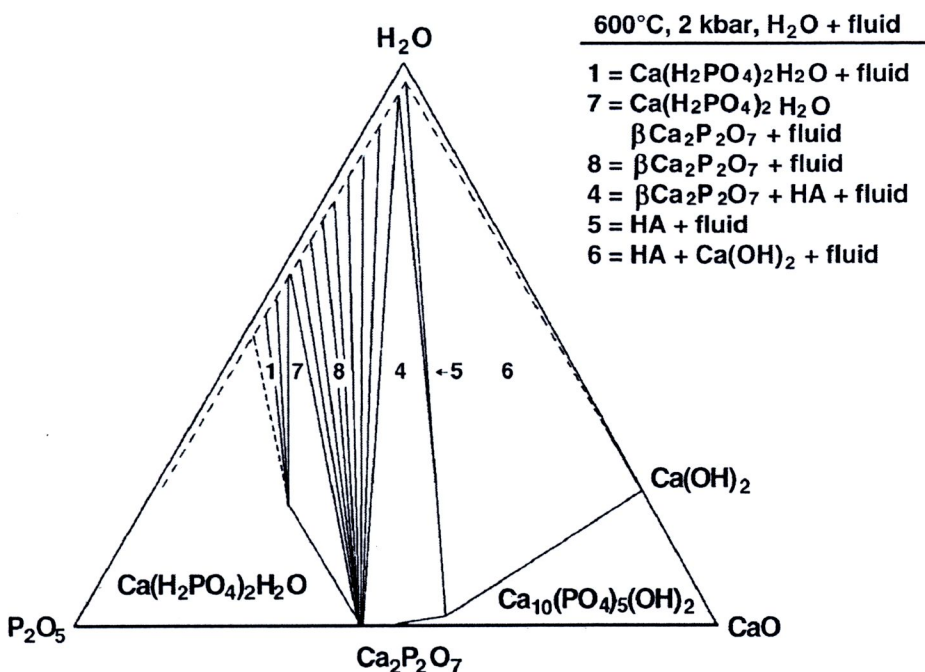
ตารางที่ 2.6 เทคนิคการเตรียม HAp ด้วยกระบวนการต่างๆ

Techniques	Starting materials	Synthetic conditions	Comments	Grain Size (nm)
Solid-state reaction	$\text{Ca}_3(\text{PO}_4)_2 + \text{CaCO}_3$ $\text{Ca}_2\text{P}_2\text{O}_7 + \text{CaCO}_3$	900~1,300°C, usually with water vapor flowing	$\text{Ca}/\text{P} = 1.67$, large grain size, irregular forms, inhomogeneous	500
Wet chemical method	$\text{Ca}(\text{NO}_3)_2 + (\text{NH}_4)_2\text{HPO}_4$ $\text{Ca}(\text{OH})_2 + \text{H}_3\text{PO}_4$	R.T. ~ 100°C pH: 7~12	$\text{Ca}/\text{P} < 1.67$, fine irregular crystals with low crystallinity, inhomogeneous	20-200
Hydrothermal method	Wet chemically prepared HA, other calcium phosphates, seeding	100~200°C (1~2 MPa) 300~600°C (1~2 kbar)	$\text{Ca}/\text{P} = 1.67$, homogeneous, fine single crystals or large crystals	10-80
Gel growth method	Gel + $\text{Ca}_2^{+} + \text{PO}_4^{3-}$	R.T. ~ 60°C pH: 7~10	Large monetite, brushite, OCP, but small HAp	
Melt growth method	$\text{Ca}_3(\text{PO}_4)^2- \text{PO}_4^{3-}$ $\text{CaF}_2, \text{CaCl}_2$	1650°C	Large crystals with lattice strain	
Flux growth method	$\text{CaF}_2, \text{CaCl}_2$ as flux $\text{Ca}(\text{OH})_2$ as flux	1325°C (FAp, CLAp) HAp	Large crystals with little lattice strain	



นอกจากรังสียังมีวิธีการอื่นๆ อีกเช่น โซลเจล (sol-gel) การเคลือบไออกซ์ิด (chemical vapor deposition , CVD) การพ่นเคลือบด้วยพลาasma (plasma spray) และกระบวนการไฟฟ้าเคมี (electrochemical)

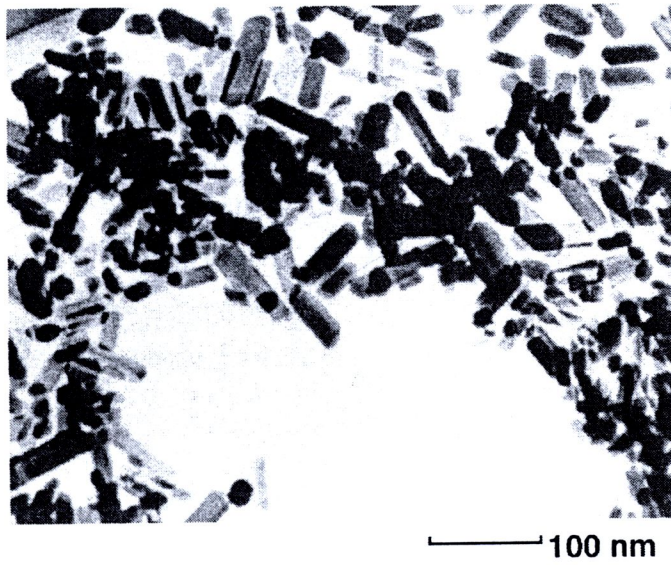
กระบวนการไฮโดรเทอร์มอล (hydrothermal processing) เป็นวิธีหนึ่งที่จำเป็นต้องเตรียมสารละลายน้ำในเนตและฟอสเฟต ณ ที่อุณหภูมิมากกว่า 100°C และความดันมากกว่า 1 atm ทำในระบบปิด รูป 2.2 แสดงเฟสไดอะแกรมของระบบ $\text{CaO}-\text{P}_2\text{O}_5-\text{H}_2\text{O}$ ภายใต้อุณหภูมิ 600°C ที่ความดัน 2 kbar ($1 \text{ bar} = 0.9107 \text{ atm}$)



รูป 2.2 แสดงเฟสไดอะแกรมของระบบ $\text{CaO}-\text{P}_2\text{O}_5-\text{H}_2\text{O}$ ภายใต้อุณหภูมิ 600°C และความดัน 2 kbar

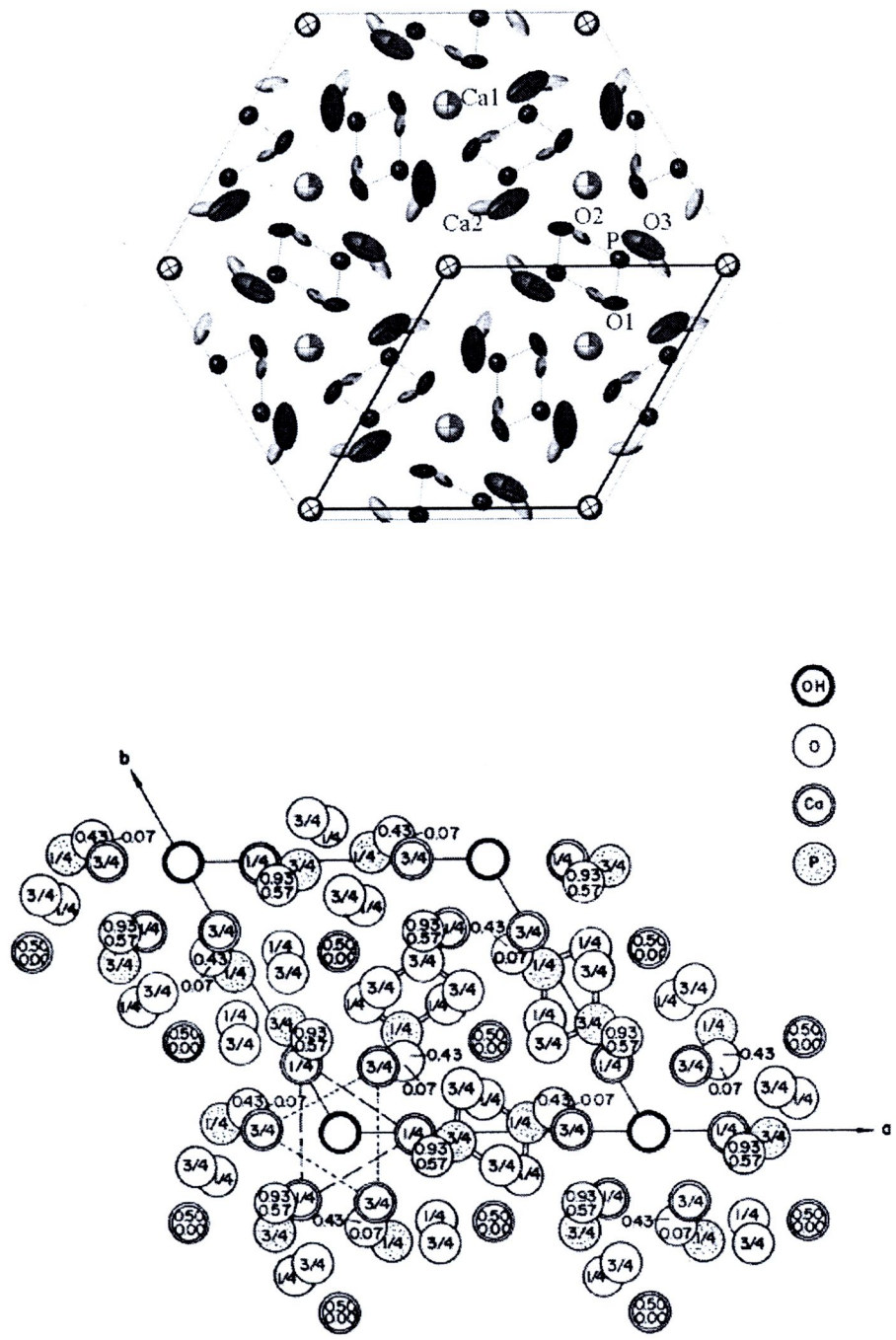
ได้มีความพยายามสังเคราะห์ HAp ที่ให้ความแข็งแรงเชิงกลที่สูงขึ้นสำหรับการใช้งานเป็นวัสดุสำหรับการฝัง หนึ่งในงานวิจัยนั้นคือการใช้ตัวกรองเป็นชั้นๆ (filter cake-like) สำหรับกระบวนการตกตะกอนไปพร้อมๆ กับการอัดแบบให้ความร้อนหลังจากเผาแล้ว ใช้น้ำพบว่าได้ HAp ที่มีลักษณะโปร่งแสงและได้สมบัติเชิงกลที่ดีขึ้น การเผาแล้วจะทำให้ผง HAp เกิดการเกาะตัวกันมากขึ้นและเกิดความไม่เป็นเนื้อเดียวกันขององค์ประกอบในบางบริเวณ ส่วนในกรณีการเผา

แคลไซซ์ที่อุณหภูมิที่สูงขึ้นประมาณ 1100-1200 °C เพื่อต้องการให้ชิ้นงานมีความหนาแน่นที่สูงมากขึ้นเนื่องจากเกรนมีขนาดโตมากขึ้น

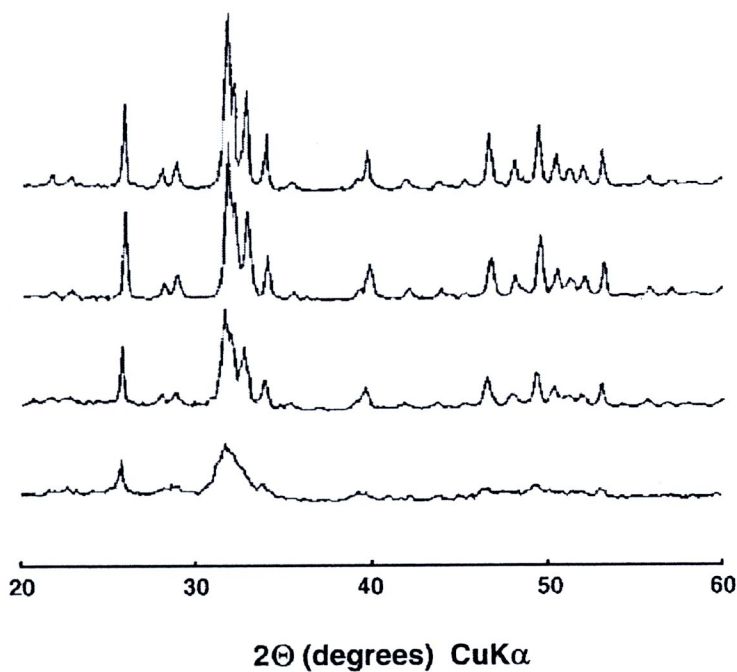


รูป 2.3 รูปถ่าย TEM ของ HAp สังเคราะห์จากกระบวนการไฮโดรเทอร์มอลที่อุณหภูมิ 200 °C ณ ความดัน 2 MPa

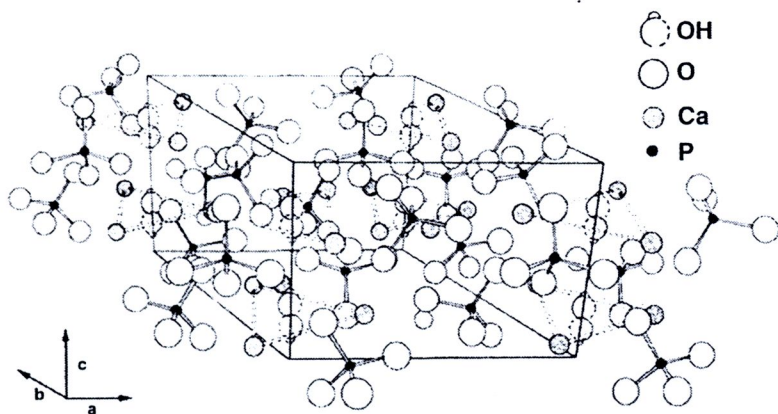
ในส่วนของแร่ธาตุในกระดูกและฟันที่อยู่ในรูปของผลึกแคลเซียมฟอสเฟต้นจะมีความคล้ายกับ HAp อย่างมาก แร่ธาตุในกระดูกอ่อนพาไทต์ $[A_{10}(BO_4)_6X_2]$ มักมีโครงสร้างผลึกกลมอยู่ในรูปของเอกฉະgonoromorph ปริซึม (hexagonal rhombic prisms) และมีขนาดหน่วยเซลล์ $a = 9.432 \text{ \AA}^\circ$ และ $c = 6.881 \text{ \AA}^\circ$ จากรูป 2.4 แสดงให้เห็นถึงโครงสร้างระดับอะตอมของ HAp โดยโปรเจกเตอร์ลงไปยังระนาบของแกน c โดยไอออนของไฮดรอกซิลที่อยู่ที่มุนแต่ละมุนของระนาบจะมีระยะห่างเท่ากัน (3.44 \AA°) ไปตามเส้นทางที่ตั้งฉากกับระนาบและนานกับแนวแกน c ไอออนแคลเซียม 6 จากทั้งหมด 10 ตัวจะทำการทำปฏิกิริยากับหมู่ไฮดรอกซิลเกิดเป็นพันธะที่แข็งแรงกิดขึ้น



รูป 2.4 โครงสร้างระดับอะตอมของ HAp โดยโปรเจกเตอร์ลงไปยังระนาบของแกน c



รูป 2.5 รูปแบบ XRD ของผง HAp เตรียมโดยวิธีการทางเคมีและไฮโดรเทอร์มอล (a) เตรียมที่อุณหภูมิห้องเป็นเวลา 10 ชั่วโมง (b) เตรียมที่อุณหภูมิ 100°C และความดัน 0.1 MPa (c) เตรียมที่อุณหภูมิ 150°C และความดัน 0.5 MPa (d) เตรียมที่อุณหภูมิ 200°C และความดัน 2 MPa



รูป 2.6 โครงสร้างผลึกของ HAp แบบ 3 มิติ

สมบัติทางเคมีหรือชีวเคมีและสมบัติทางกลของ HAp จะมีลักษณะที่เหมือนกับสมบัติของกระดูกและฟัน รวมทั้งโครงสร้างโมเลกุลค่อนข้าง แต่ในกรณีขององค์ประกอบน้ำแร่ธาตุ โปรตีน และการทำพันธะร่วมกันทั้งหมดยังไม่เป็นที่เข้าใจมากนัก

ได้มีงานวิจัยมากมายกล่าวถึงสมบัติเชิงกลของ HAp เช่น Jarcho ได้รายงานเกี่ยวกับค่าความแข็งแรงต่อการกดขัดและความแข็งแรงต่อการดึงของ HAp แบบผลึกเชิงช่องมีค่า 917 และ 196 MPa ตามลำดับ ส่วน Kato ได้งานงานว่าความแข็งแรงต่อการกดอัดมีค่า 3000 kg/cm^2 (294 MPa) ค่าความแข็งแรงต่อการดึง約 1500 kg/cm^2 (147 fMPa) และความแข็งแบบวิสเกอส์ 350 kg/mm^2 (3.43 GPa)

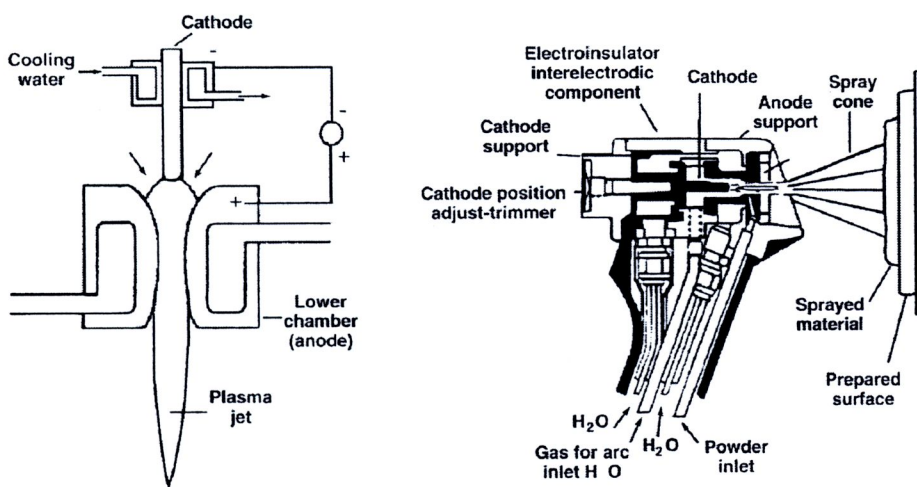
ตารางที่ 2.7 ค่ามอดูลัสความยืดหยุ่นของ HAp

Test method	Materials	Elastic modulus (GPa)
Ultrasonic interference technique	Hydroxyapatite (mineral)	144
	Hydroxyapatite (synthetic)	117
	Dentine	21
	Enamel	74
Destructive technique	Human cortical bone	24.6-35
Resonance frequency technique	Hydroxyapatite (synthetic)	39.4-63
	Canine cortical bone	12-14.6

HAp สามารถพิจารณาได้ว่ามีสมบัติทางการสร้างพันธะ (bioactive) เช่นกัน เมื่อพิจารณา การเกิดไอออนในร่างกายของสิ่งมีชีวิต (in vivo) และอัตราการสลายตัวซึ่งขึ้นอยู่กับปัจจัยหลายๆ ประการ เช่น ระดับความเป็นผลึก (degree of crystallinity) ขนาดผลึก (crystalline size) เนื่องจาก ในกระบวนการผลิต (processing condition) อาทิ อุณหภูมิ ความดัน ความดันน้ำ และรูพรุน HAp สามารถละลายได้ในสารละลายที่เป็นกรด (acidic solution) ในขณะที่ไม่สามารถละลายได้ในสาร ประเภทด่าง (alkaline) และละลายได้เล็กน้อยในน้ำกลั่นบริสุทธิ์ ความสามารถในการละลายได้ในน้ำกลั่นบริสุทธิ์จะเพิ่มขึ้นเมื่อเติมสารที่สามารถแตกตัวเป็นไอออนได้ (electrolyte) นอกจากนี้ ความสามารถในการละลายของ HAp ขึ้นเปลี่ยนแปลงไปตามกรดอะมิโน (amino acid) โปรตีน ไอนิฟ์ และสารประกอบอินทรีย์ต่างๆ (organic compound) สมบัติในการละลายได้เหล่านี้ล้วน แต่มีความสัมพันธ์ใกล้ชิดกับสมบัติความเข้ากันได้ทางชีวภาพ (biocompatibility) ของ HAp กับ เนื้อเยื่อและปฏิกิริยาทางเคมีกับสารประกอบอื่นๆทั้งสิ้น อย่างไรก็ตามอัตราความสามารถในการ

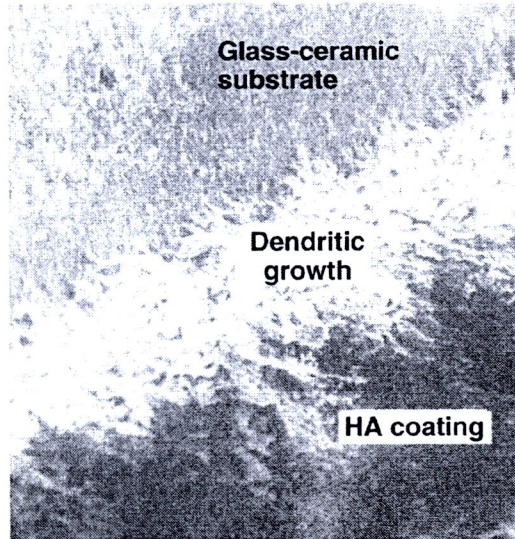
ละลายยังขึ้นอยู่กับ รูปร่าง ความพูน ความเป็นผลึก ขนาดของผลึก และขนาดของผลึกของ HAp ด้วย นอกจากนี้ยังพบอีกว่าความสามารถในการละลายของ HAp ที่ผ่านการเผาชินเตอร์ต่ำๆ อัตราความสามารถในการละลายของ HAp ในเนื้อยื่อใต้ผิวหนัง (subcutaneous tissue) มีค่า 0.1 มิลลิกรัมต่อปี เท่านั้น ซึ่ง HAp สามารถทำปฏิกิริยากับโปรตีน ไขมัน สารอินทรีย์และสารอนินทรีย์ได้

ในปี 1920 ได้มีการนำ HAp มาประยุกต์ใช้เพื่อเร่งการรักษากระดูก (accelerate bone healing) ในรูปของผงสเลอร์ (slurry powder) ต่อมานักวิจัยค้นพบว่าแคลเซียมฟอสเฟตชนิดอื่นๆ ไม่สามารถเร่งการรักษากระดูกได้ในปี 1961 Driskell แห่งสถาบัน Battelle Memorial Institute ได้ทำการพัฒนาแคลเซียมฟอสเฟตเพื่อให้สามารถขึ้นรูปเป็นวัสดุสำหรับการฝังและเติมลงไปในส่วนที่เสียหายได้ (void-filling materials) เทคนิคการเคลือบ HAp ลงบนวัสดุอื่นๆ ได้ทำครั้งแรกบนอลูминิเชรามิกเพื่อใช้สำหรับทางทันตกรรมและบนโลหะไร้สนิม เช่น Co-Cr alloys, Ti alloy และ Ta สำหรับใช้เป็นแผ่นยึดกระดูกที่แตกหัก (bone fracture plate) หลังจากนั้นได้มีการนำไปใช้ทางศัลยกรรมกระดูกโดยการจุ่ม (dipping) วัสดุที่ต้องการทำการฝังลงในสารละลาย HAp สเลอร์ จากนั้นนำไปผ่านกระบวนการเผาที่อุณหภูมิสูง เช่น การพ่นเคลือบด้วยพลาสมา (plasma spraying)

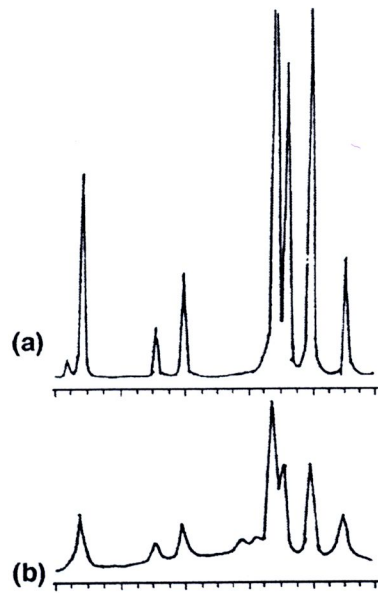


รูป 2.7 แสดงรูปแบบจำลองการพ่นเคลือบด้วยพลาasma (plasma spraying) ปัญหาหลักในการประยุกต์ใช้ HAp คือ มีสมบัติเชิงกลที่ต่ำ ดังนั้นจึงมักประยุกต์ใช้ HAp ในรูปของวัสดุสำหรับการ

เคลือบเดี่ยงส่วนใหญ่ ซึ่งเทคนิคที่นิยมเป็นอย่างมากสำหรับการเคลือบ HAp คือ การพ่นเคลือบด้วยพลาสma ดังรูป 2.7 ซึ่งการทำพันธะระหว่าง HAp บนชั้นงานวัสดุอื่นนั้นเป็นปัจจัยที่สำคัญอย่างยิ่ง นอกจากนั้นความเป็นผลึกของ HAp หลังจากที่ทำการเคลือบลงไปแล้วสามารถหาอัตราการถ่ายตัวของ HAp ได้ ความเป็นผลึกที่สูงจะมีการถ่ายบนตัวของ HAp ที่ต่ำ ซึ่งหลังจากการเคลือบแล้ว HAp อาจมีการลดความเป็นผลึกลงเนื่องจากอุณหภูมิสูงของการพ่นเคลือบด้วยพลาสma สุดท้ายแล้ว HAp จะอยู่ในรูปของเคลเซิมฟอสเฟตแบบอัมฟาร์กาน (amorphous calcium phosphate) รูป 2.8

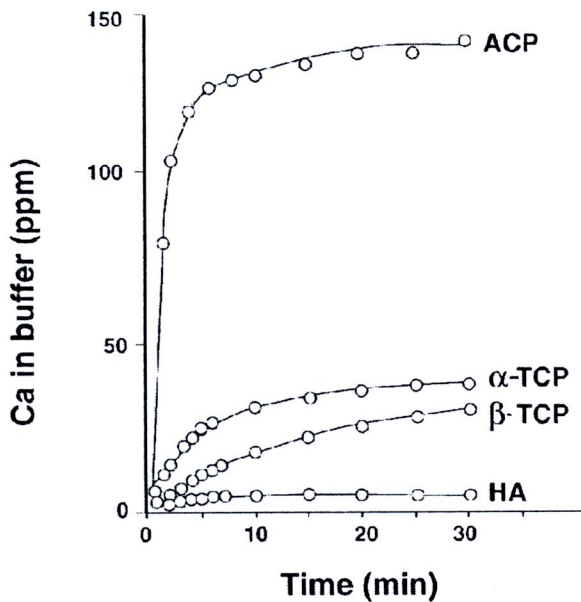


รูป 2.8 ภาพถ่าย SEM แสดงสัมฐานวิทยาของการเกิดผลึก HAp บนแก้วชีวภาพ (bioglass)



รูป 2.9 รูปแบบ XRD ของ (a) HAp (b) HAp หลังจากทำการเคลือบลงไปบนชิ้นงานโลหะ

การสลายตัวของ Ca : P นั้นขึ้นอยู่กับความเข้มข้นของตัวสารละลายน้ำที่ผ่านและไม่ผ่านการบัฟเฟอร์ นอกจากนี้ยังขึ้นอยู่กับสภาพการแขวนลอย (suspension) ในสารละลายน้ำ องค์ประกอบและความเป็นผลึกของ Ca : P ปัจจัยภายนอกอื่นๆ ที่สำคัญ ได้แก่ ขนาดของรูพรุน (ไมโครอนและมาครอน) รูปแบบของตำแหน่ง (defect structure) ปริมาณและชนิดของเฟสที่เกิดล้วนแต่มีผลทึ่งสืบ องค์ประกอบและลักษณะโครงสร้างทางพลีก (crystallographic structure) ที่แตกต่างกันของสารประกอบ Ca : P เป็นผลสะท้อนให้เห็นถึงจากความเสถียรและความสามารถละลายที่แตกต่างกัน ความสามารถในการละลายได้ของสารประกอบ Ca : P ดังรูป 2.10 และตามความสัมพันธ์ ACP > α-TCP > β-TCP > AP > HAp



รูป 2.10 การสลายตัวของ ACP, α -TCP, β -TCP และ HAp

แคลเซียมฟอสเฟตรูปแบบอสัมฐาน (amorphous calcium phosphate , ACP) และอพาไทท์ (AP) การมีหมู่แคลเซียมฟอสเฟตตัวอื่นๆปะปนลงใน HAp หรือ TCP ย่อมส่งผลต่อขอบเขตการสลายตัวของวัสดุทึ้งสองชนิดนี้เป็นอย่างมาก ยกตัวอย่างในกรณีของการพ่นเคลือบด้วยพลาสma สุดท้ายแล้ว วัสดุที่ได้จะประกอบไปด้วย HAp, ACP, α -TCP และ β -TCP ในปริมาณเล็กน้อย ในบางครั้งอาจพบ CaO ปะปนด้วย สรุปได้ว่าอิทธิพลของปริมาณและชนิดเฟสที่ไม่ใช่ HAp ย่อมส่งผลต่อขอบเขตของการสลายตัวของ HAp การเคลือบด้วยอัตราส่วนระหว่าง ACP/ HAp ที่สูงจะมีการสลายตัวเร็วกว่า ACP และ HAp

2.4 ไตรแคลเซียมฟอสเฟต (Tricalcium phosphate)

ไตรแคลเซียมฟอสเฟต (tricalcium phosphate , TCP) เป็นรูปแบบเฟสหนึ่งของแคลเซียมฟอสเฟตมีความเสถียรในช่วงอุณหภูมิ $1000\text{-}1500\text{ }^{\circ}\text{C}$ ซึ่งในรูปแบบเฟส TCP จะเพิ่มความสามารถในการดูดซับ เพื่อให้เกิดการเจริญของกระดูกใหม่แทนที่ TCP เดิมที่ทำการฝังลงไป การเกิดรูปแบบเฟส TCP สามารถเกิดได้สองรูปแบบ ได้แก่ เบตาไตรแคลเซียมฟอสเฟต (β -tricalcium phosphate , β -TCP) และแอลฟ่าไตรแคลเซียมฟอสเฟต (α -tricalcium phosphate , α -TCP) ซึ่งการเปลี่ยนเฟสจาก β -TCP ไปสู่ α -TCP จะเกิดขึ้น ณ อุณหภูมิ $1200\text{ }^{\circ}\text{C}$ ซึ่งเฟสของแคลเซียมฟอสเฟตที่เสถียรนั้นจะอยู่ในช่วงอุณหภูมิ $700\text{-}1200\text{ }^{\circ}\text{C}$ อย่างไรก็ตามเฟส α -TCP ได้รับความสนใจอย่างมากในการศึกษาทางชีวการแพทย์ เนื่องจากว่า α -TCP มีข้อเสียคือนั้นมีอัตราการดูดซึมที่รวดเร็วมาก ทำให้เกิดข้อจำกัดในการนำไปประยุกต์ใช้งานด้านต่างๆ ในกรณีของเฟส β -TCP หรือเป็นที่รู้จักกันในชื่อของเบتاไวท์ล็อกไฮท์ (β -whitlockite) เป็นแคลเซียมฟอสเฟตเซรามิกที่มีการถ่ายตัวและมีการดูดซับทางชีวภาพที่มากกว่าซึ่งจำเป็นต่อระบบทางชีวภาพมากกว่า นอกจากนี้ยังเป็นวัสดุที่ดีเยี่ยมในการนำไปประยุกต์ใช้ทางชีวการแพทย์ เช่น การศัลยกรรมกระดูก (orthopedic surgery) ข้อดีของ β -TCP คือมีความเข้ากันได้กับระบบชีวภาพที่ดี (biological affinity) มีการกระทำ (activity) และการตอบสนอง (respond) ต่อสภาพแวดล้อมทางสรีรวิทยา (physiological environment) ที่ดีเยี่ยม เฟส β -TCP ที่ได้รับความสนใจและเป็นที่นิยมในการนำไปใช้เป็นวัสดุทดแทนเพื่อการเจริญของกระดูกคือวัสดุรูพรุน (porous β -TCP) จากปัจจัยที่ได้กล่าวมาทำให้ β -TCP ได้เปรียบวัสดุทางชีวภาพอื่นๆ ทั้งหมดสำหรับในการประยุกต์ใช้ทางการการดูดซึมและการทดแทนเพื่อการเจริญของเนื้อเยื่อกระดูก นอกจากนี้ความเข้ากันได้กับชีวภาพทำให้ β -TCP นิยมทำให้อยู่ในรูปของวัสดุแบบโครงร่าง (scaffold) เพื่อให้เหมาะสมต่อการเกิดใหม่ (regeneration) และการเติบโต (growth) ของกระดูกอีกด้วย

ในการสังเคราะห์ผง β -TCP โดยทั่วไปก็นิยมคือวิธีง่ายๆ เช่น solid state reaction wet chemical ซึ่งจะได้ AP ที่มีอัตราส่วนของ Ca : P ที่เท่ากับ TCP (3 : 2) เนื่องจากการขาดหายไปของแคลเซียม 1 โนเลกุลเรียก Ca-deficient apatite (CDHA) มีสูตรโครงสร้าง $\text{Ca}_9(\text{HPO}_4)(\text{PO}_4)(\text{OH})$ จากนั้นนำไปเผาแคลเซ็นที่อุณหภูมิสูงกว่า $700\text{-}800\text{ }^{\circ}\text{C}$ เพื่อให้อยู่ในรูปของเฟส β -TCP ดังสมการ



สำหรับการสังเคราะห์ nano β -TCP โดยสารตั้งต้นที่เป็นที่นิยมคือ $(\text{CH}_3\text{COO})_2\text{Ca}\cdot\text{xH}_2\text{O}$ ซึ่งเป็นตัวให้ Ca และ H_3PO_4 เป็นตัวให้ P โดยทำการสังเคราะห์ที่อุณหภูมิห้องในสารละลายน้ำออล ผง β -TCP ที่ได้มีขนาด ~50 nm นอกจากนี้ยังพบอีกว่า β -TCP สามารถได้จากเฟสที่มีความเสถียร กึ่งกลางระหว่างเฟสแคลเซียมฟอสเฟตในรูปแบบอสัมฐาน (ACP 1 และ ACP 2) นั่นก็คือ แคลเซียมไฮドเรนฟอสเฟต (CaHPO_4) เมื่อใช้เวลาในการเผาแคลเซียมมากขึ้น โดยการรวมกับ คาร์บอนเนตจะช่วยยับยั้งการเปลี่ยนเฟสของ ACP 1 ไปเป็น HAp ที่โดยไปอยู่ในรูปของ CDHA ที่มี ความเป็นผลึกต่ำและขอบที่จะอยู่ในรูปของ β -TCP เฟสมากกว่า หลังจากการเผาซินเตอร์แล้วพบว่า เกิดรูพรุนระดับไมโครอนเกิดขึ้นซึ่งส่งผลอย่างมากต่อสมบัติการดูดซึมน้ำที่มีองค์ประกอบ เป็น TCP ดังนั้นทั้งขนาดและปริมาณของรูพรุนทั้งระดับไมโครอนและมาครอนต่างก็ต้องได้รับการ ควบคุม

2.5 ไบเฟสิกแคลเซียมฟอสเฟต (Biphasic calcium phosphate)

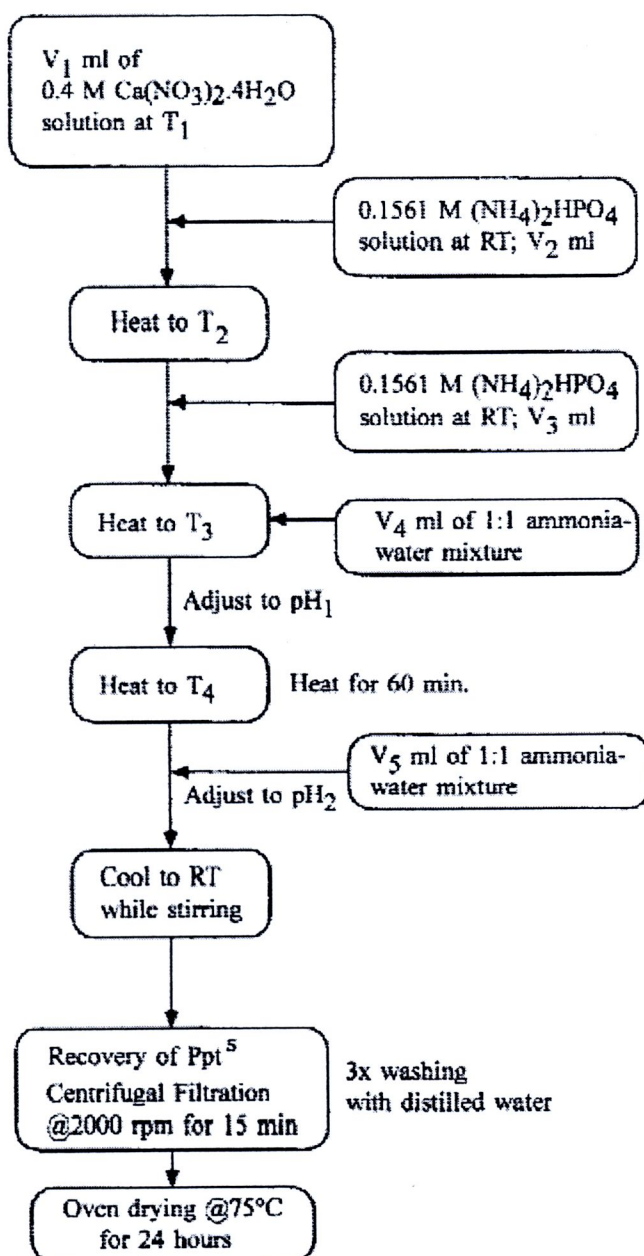
ในการประยุกต์ใช้แคลเซียมฟอสเฟตในเชิงสมบัติการถลایตัวทางชีวภาพ (biodegradable) นั้น มีความจำเป็นอย่างยิ่งที่ต้องทำการปรับอัตราการถลایตัวทางชีวภาพของแคลเซียมและฟอสเฟต นั่นหมายความว่าเมื่อนำไปประยุกต์ใช้งานจริงนั้น วัสดุทางการแพทย์อาทิ เช่น ตัวเติมกระดูกที่เกิดการสึกหรอ (filter) วัสดุสำหรับการเคลือบ (coating) ตัวบรรจุยา (drug carrier) ซีเมนต์กระดูก (bone cement) วิศวกรรมเนื้อเยื่อ (tissue engineering) และโครงร่างสำหรับวิศวกรรมเนื้อเยื่อ (tissue engineering scaffold) ดังนั้นจึงเกิดการประยุกต์การประดิษฐ์ Hera มิกชีวภาพที่เรียกว่าไบเฟสิกแคลเซียมฟอสเฟต (biphasic calcium phosphate , BCP) ขึ้นมา BCP เป็นรูปแบบหนึ่งของเซรามิกในกลุ่มของแคลเซียมฟอสเฟตที่ได้จากการผสมกันระหว่างแคลเซียมฟอสเฟต 2 เฟส คือ เฟสที่มีคุณสมบัติไม่เกิดการดูดซับ (non-resorbable) เฟสที่มีความเสถียรต่อการเปลี่ยนสภาพทางสรีรวิทยาได้ยาก และเกิดการทำพันธะกับกระดูกได้โดยตรงซึ่งก็คือ HAp ในส่วนของอีกเฟสจำเป็นต้องมีคุณสมบัติที่สามารถดูดซับโดยกระดูกได้ ทำให้เกิดการสร้างเยื่อกระดูกใหม่ขึ้นได้ เฟสนี้ได้แก่ (α หรือ β)-TCP ในการนำไปประยุกต์ใช้งานนั้นออกเหนือจากจะพิจารณาจากสมบัติการถลایตัวแล้ว ยังสามารถพิจารณาฟังก์ชันร่วมอื่นๆ เช่น การทำพันธะชีวภาพ (bioactivity) และการเหนี่ยวแน่นการสร้างกระดูก (osteoconductivity) ล้วนแต่สามารถควบคุมได้จากอัตราส่วนของ HAp : β -TCP

กล่าวได้ว่าอัตราการดูดซับของ BCP ขึ้นกับอัตราส่วนระหว่าง HAp : β -TCP กล่าวอีกนัยหนึ่ง ถ้าปริมาณของ β -TCP สูงจะส่งผลให้การดูดซับได้รวดเร็วและมาก อัตราส่วนของ HAp : β -TCP ที่นิยมในการใช้งานมากที่สุดคือ 60wt% HAp : β -TCP สำหรับกรณี α -TCP นั้นเป็นรูปแบบเฟสหนึ่งที่ไม่ค่อยเป็นที่นิยมนำมาใช้ทำเป็น BCP มากนัก เนื่องจากว่ามีอัตราการถลایต์และการดูดซึมที่สูงกว่า β -TCP ส่งผลให้ทำนำไปทำเป็น BCP จะมีข้อเสีย 3 ข้อด้วยกัน คือ (1) ใช้พลังงานในการสังเคราะห์ที่สูงเนื่องจากว่าเฟส TCP ทั้งสอง ล้วนที่เกิดขึ้นที่อุณหภูมิสูงเกินกว่าดับ 1000 °C (2) ผลจากข้อ 1 ทำให้ขนาดของอนุภาคมีขนาดที่ใหญ่ (3) ไม่มีรูปแบบขององค์ประกอบเฟสที่แน่ชัด เช่น เฟสที่แตกต่างกันอาจจะอิ่มตัวอยู่ในขนาดอนุภาคที่แตกต่างกันออกไป

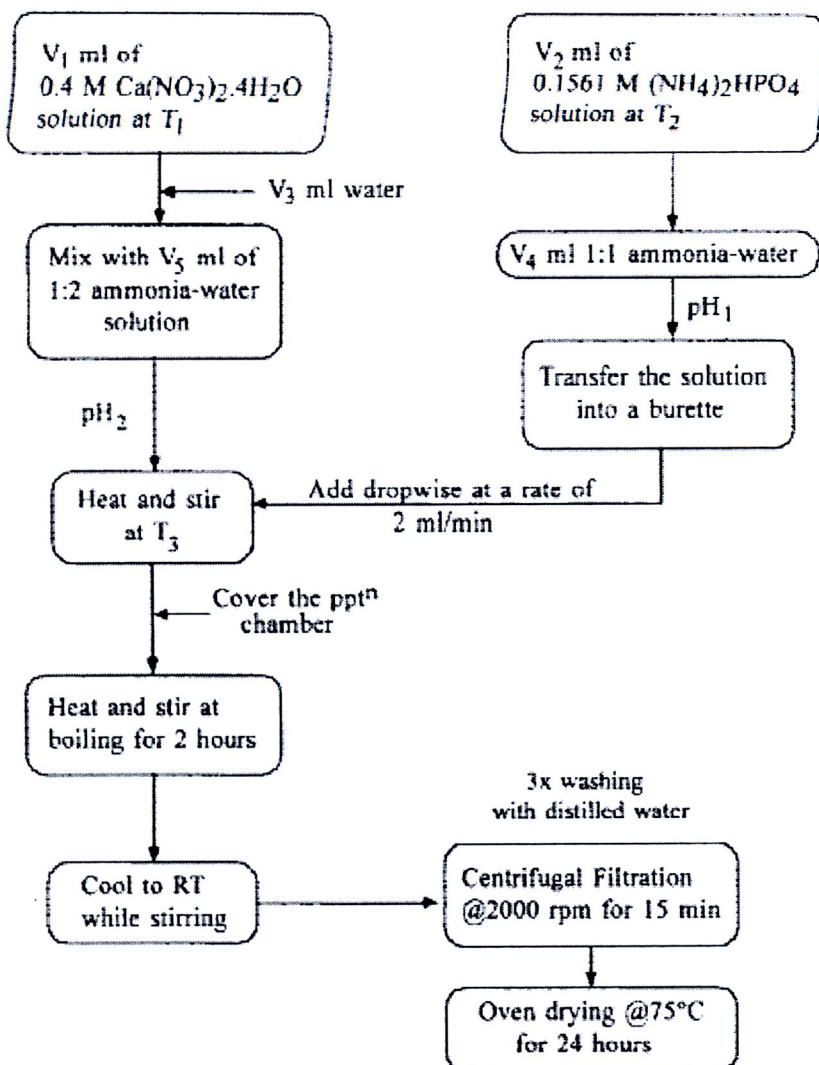
การสังเคราะห์ BCP สามารถทำได้โดยการบวนการผสมแบบเชิงกล (mechanical mixing) ระหว่าง HAp และ β -TCP หรือการเผาเซินเตอร์ Ca deficient apatite (CDA) โดยปกติมีสูตรโครงสร้าง $\text{Ca}_{10-x}(\text{PO}_4)_{6-x}(\text{HPO}_4)_x(\text{OH})_{2-x}$, เมื่อ $0 \leq x \leq 2$ ที่ได้จากการสังเคราะห์ด้วย

กระบวนการตกตะกอน เนื่องจากว่าอัตราส่วน Ca : P ของผงจากกระบวนการตกน้ำจะขึ้นอยู่กับค่า pH ของปฏิกิริยาและอุณหภูมิในการสังเคราะห์เป็นหลัก นั่นทำให้การสังเคราะห์ BCP จากการเผาซินเตอร์ CDA ได้รับความสนใจมากกว่า เนื่องจากว่าสามารถเลือกระดับความเป็นผลึก (crystallite level) มาพสมเป็น BCP ได้

ตัวอย่างงานวิจัยที่ทำการสังเคราะห์ BCP ของ N. Kivark และ A. Cuneyt โดยงานวิจัยนี้ได้ทำการสังเคราะห์และศึกษาพฤติกรรมการซินเตอร์ของ BCP จากกระบวนการสังเคราะห์ด้วยกระบวนการตกตะกอน โดยแบ่งการสังเคราะห์เป็น 2 รูปแบบ ดังรูป 2.11 และ 2.12



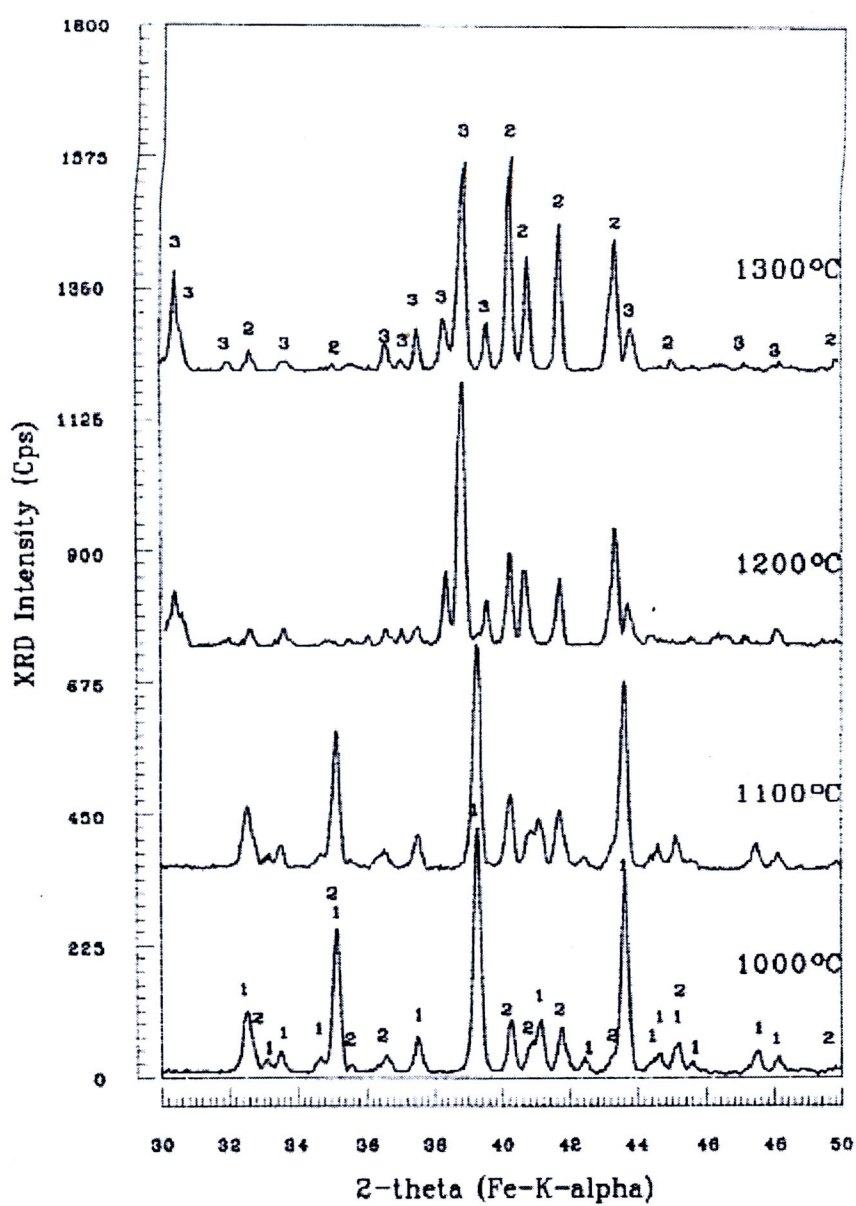
รูป 2.11 การสังเคราะห์ผง BCP ที่ 20-50wt% HAp



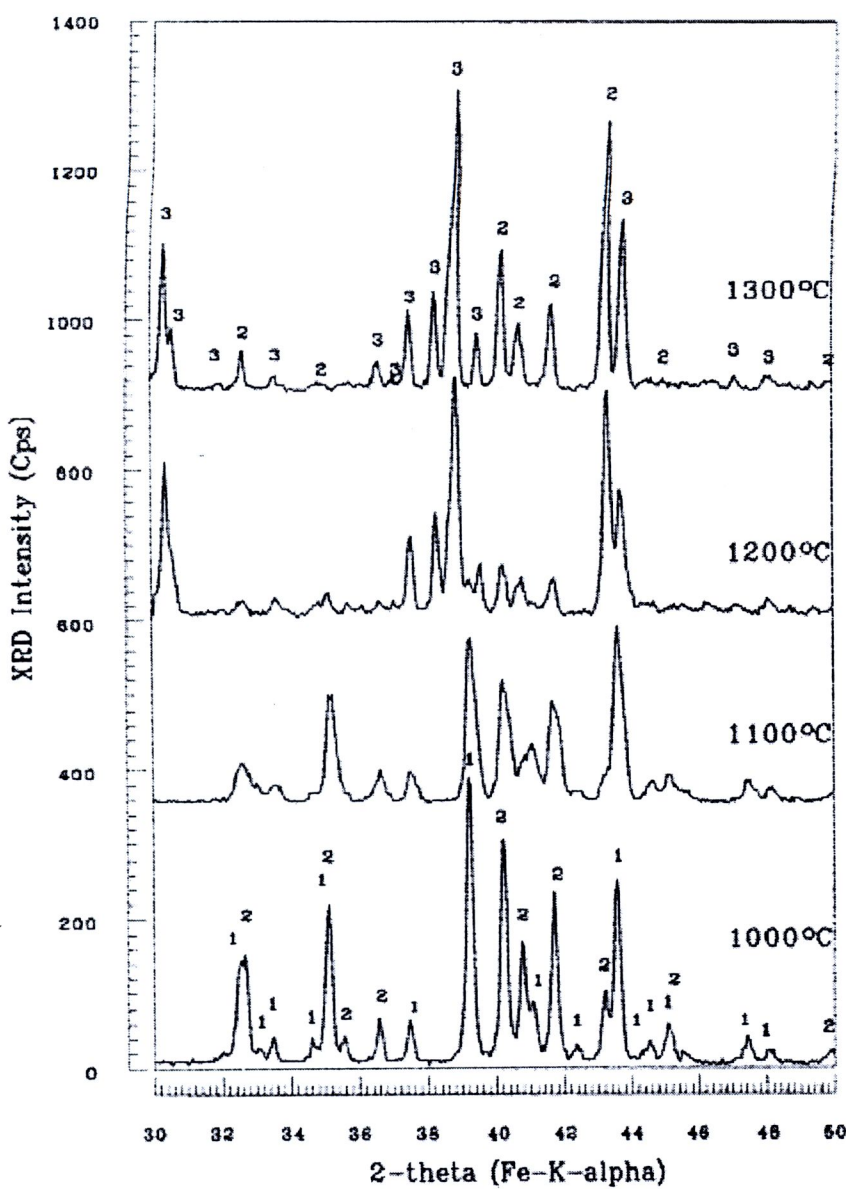
รูป 2.12 การสังเคราะห์ผง BCP ที่ 60-90wt% HAp

ตารางที่ 2.8 ค่าตัวแปรทางเคมีที่ใช้สังเคราะห์ผง BCP

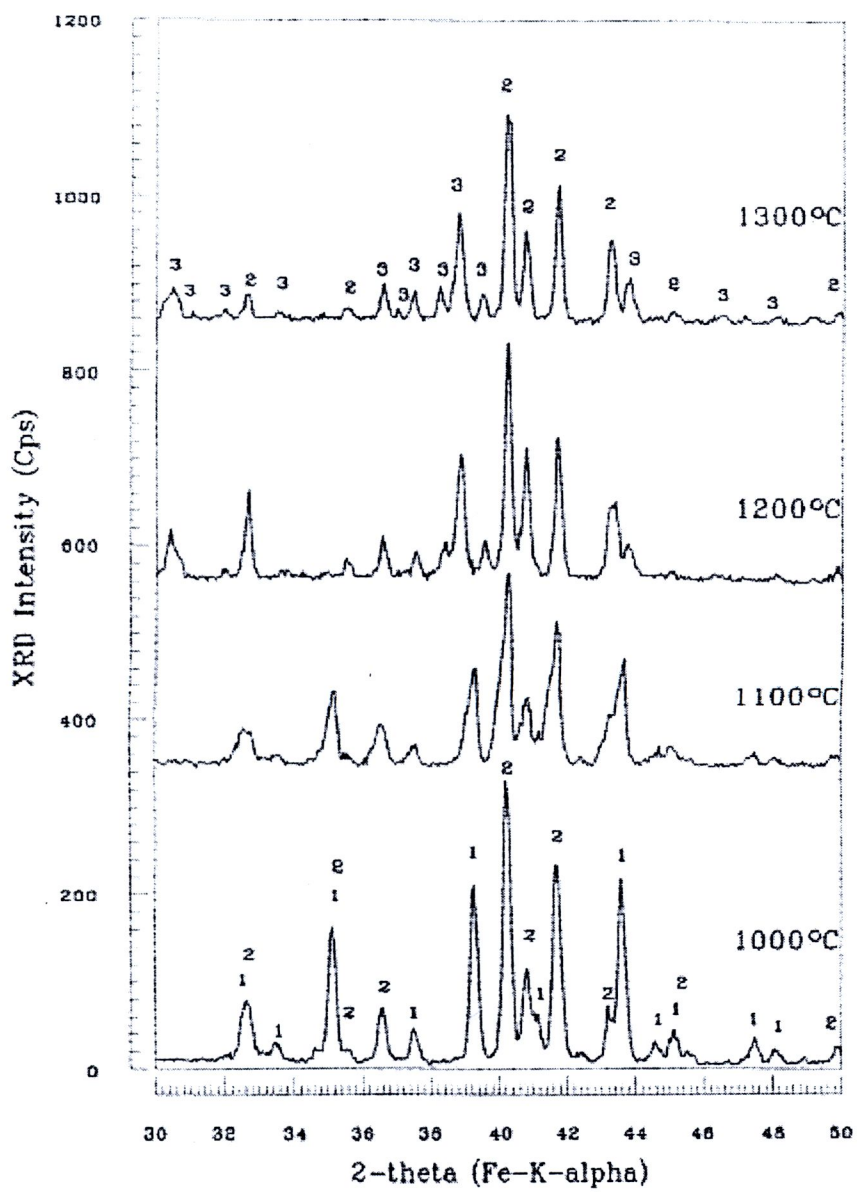
Composition	Volume (mL)					Temperature (°C)				pH	
	V ₁	V ₂	V ₃	V ₄	V ₅	T ₁	T ₂	T ₃	T ₄	pH ₁	pH ₂
20%HAp + 80%TCP	185	170	170	9	2	40	40	55	65	8	4
30%HAp + 70%TCP	198	170	170	7	2	40	40	55	65	7.5	6
40%HAp + 60%TCP	198	160	160	7.5	6	40	40	55	65	7.5	7.5
50%HAp + 50%TCP	120	85	170	99	2	55	55	55	65	9.5	9.5
60%HAp + 40%TCP	54	77	70	1	11	40	40	65	65	8	10.5
70%HAp + 30%TCP	54	115	70	1	11	40	40	65	65	8.5	10.7
80%HAp + 20%TCP	54	115	70	4	11	40	40	65	65	9.3	10.7
90%HAp + 10%TCP	54	77	70	7	11	40	40	65	65	9.7	10.7



รูป 2.13 รูปแบบ XRD ของผง BCP ที่อัตราส่วน 20%HAp : 80%TCP ที่ผ่านการเผาชินเตอร์เป็นเวลา 5 ชั่วโมง เมื่อ (1) β -TCP [ICDD File Card No. 9-169] (2) HAp [ICDD File Card No. 9-432] (3) α -TCP [ICDD File Card No. 9-348]



รูป 2.14 รูปแบบ XRD ของผง BCP ที่อัตราส่วน 40%HAp : 60%TCP ที่ผ่านการเผาชินเตอร์เป็นเวลา 5 ชั่วโมง เมื่อ (1) β -TCP [ICDD File Card No. 9-169] (2) HAp [ICDD File Card No. 9-432] (3) α -TCP [ICDD File Card No. 9-348]



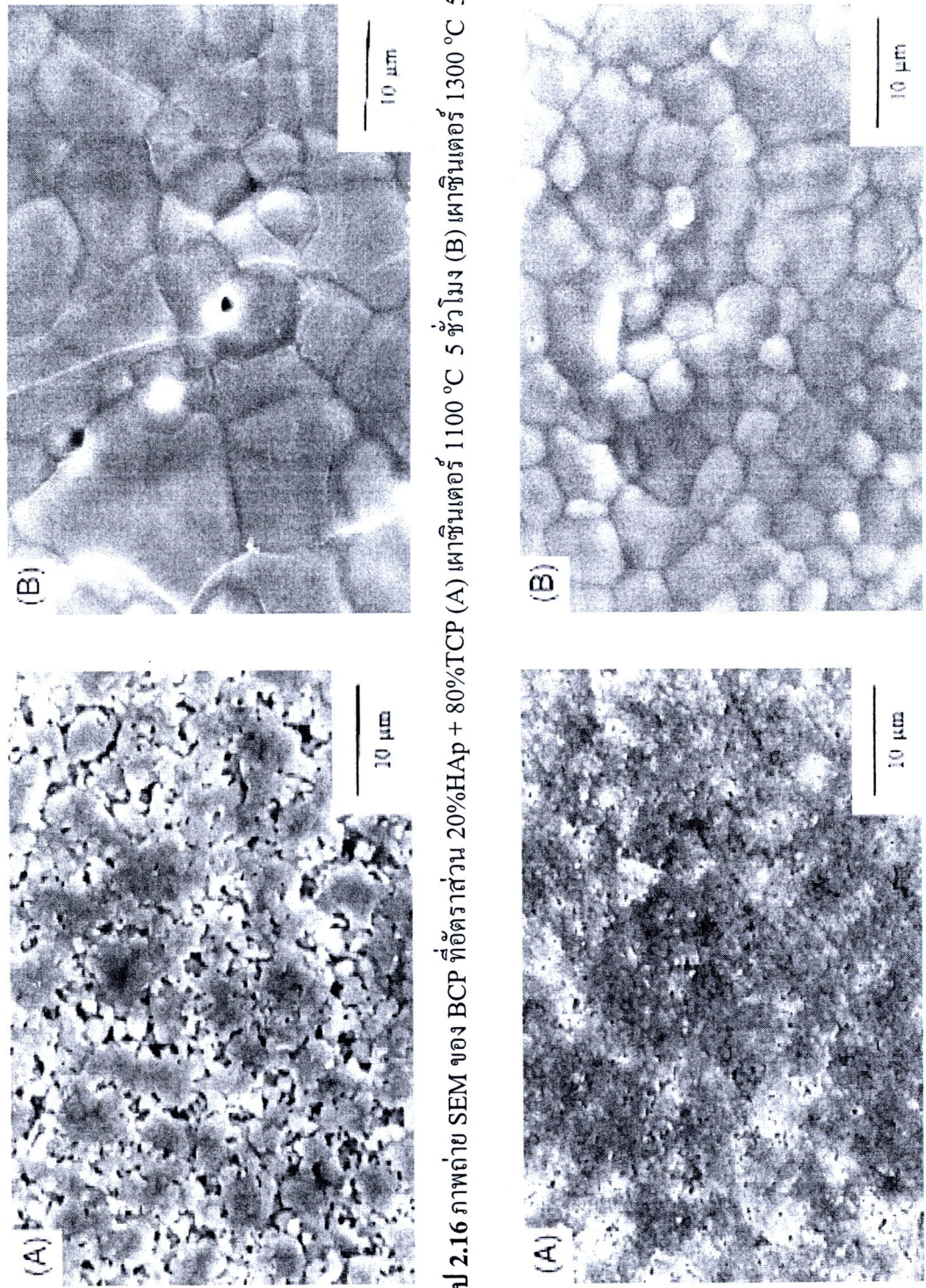
รูป 2.15 รูปแบบ XRD ของผง BCP ที่อัตราส่วน 60%HAp : 40%TCP ที่ผ่านการเผาซินเดอร์เป็น เกลา 5 ชั่วโมง เมื่อ (1) β -TCP [ICDD File Card No. 9-169] (2) HAp [ICDD File Card No. 9-432] (3) α -TCP [ICDD File Card No. 9-348]

ตารางที่ 2.9 ผลการส่องไฟ HAp และ TCP ที่เกิดขึ้นทั้งหมดใน BCP เมื่อทำการให้ความร้อนเป็นเวลา 5 ชั่วโมง

Initial composition	Composition after heating			
	1000 °C	1100 °C	1200 °C	1300 °C
20%HAp + 80%TCP	18%HAp + 82%TCP	24%HAp + 76%TCP	32%HAp + 68%TCP	50%HAp + 50%TCP
30%HAp + 70%TCP	36%HAp + 64%TCP	52%HAp + 48%TCP	70%HAp + 30%TCP	53%HAp + 47%TCP
40%HAp + 60%TCP	44%HAp + 56%TCP	45%HAp + 55%TCP	20%HAp + 80%TCP	33%HAp + 67%TCP
50%HAp + 50%TCP	48%HAp + 52%TCP	26%HAp + 74%TCP	10%HAp + 90%TCP	23%HAp + 77%TCP
60%HAp + 40%TCP	61%HAp + 39%TCP	66%HAp + 34%TCP	65%HAp + 35%TCP	64%HAp + 36%TCP
70%HAp + 30%TCP	71%HAp + 29%TCP	63%HAp + 37%TCP	72%HAp + 28%TCP	71%HAp + 29%TCP
80%HAp + 20%TCP	82%HAp + 18%TCP	85%HAp + 15%TCP	83%HAp + 17%TCP	78%HAp + 22%TCP
90%HAp + 10%TCP	89%HAp + 11%TCP	87%HAp + 13%TCP	90%HAp + 10%TCP	88%HAp + 12%TCP

ตารางที่ 2.10 ค่าคงทิชพารามิเตอร์ของผลสัมประสิทธิ์ระหว่าง HAp และ β-TCP หลังจากผ่านการเผาเคลือบที่อุณหภูมิ 1050 °C

composition	Lattice parameters of HAp phase (Å°)		Lattice parameters of β-TCP phase (Å°)	
	<i>a</i>	<i>c</i>	<i>a</i>	<i>c</i>
20%HAp + 80%TCP	9.4302	6.8882	10.4525	37.7127
30%HAp + 70%TCP	9.4287	6.8625	10.4476	37.9837
40%HAp + 60%TCP	9.4494	6.8784	10.4655	37.4916
50%HAp + 50%TCP	9.4115	6.8829	10.4500	37.7500
60%HAp + 40%TCP	9.4337	6.8926	10.4541	37.7364
70%HAp + 30%TCP	9.4425	6.8944	10.4623	37.5407
80%HAp + 20%TCP	9.4344	6.8926	10.4359	37.7000
90%HAp + 10%TCP	9.4208	6.8893	10.4467	37.4821



รูป 2.16 ภาพถ่าย SEM ของ BCP ที่อัตราส่วน 20%HAp + 80%TCP (A) เผาชิ้นเดียว 1100 °C 5 ชั่วโมง (B) เผาชิ้นเดียว 1300 °C 5

รูป 2.16 ภาพถ่าย SEM ของ BCP ที่อัตราส่วน 70%HAp + 30%TCP (A) เผาชิ้นเดียว 1100 °C 5 ชั่วโมง (B) เผาชิ้นเดียว 1300 °C 5

ตาราง 2.11 การวิเคราะห์ทางเคมีด้วยเทคนิค ICP ของ HAp, TCP บริสุทธิ์ และBCP เซรามิกบางส่วนที่เผาอุณหภูมิ 1050 °C

Composition	Content (%)		
	Calcium	Phosphorus	Ca : P atomic ratio
Pure HAp	39.88	18.51	1.665
Pure TCP	38.78	19.95	1.502
50%HAp + 50%TCP	39.33	19.24	1.582
60%HAp + 40%TCP	39.45	19.09	1.599
70%HAp + 30%TCP	39.56	18.94	1.615

BCP ที่เตรียมได้จากการกระบวนการตกตะกอนทางเคมี (chemical precipitation) สามารถกำหนดปริมาณของ HAp ได้ตั้งแต่ 20-90% (โดยน้ำหนัก) โดยที่ 10%HAp จะมีความสมดุลกับเฟส TCP โดยท่องค์ประกอบ HAp $\geq 60\%$ จะไปเพิ่มความเสถียรของระดับ BCP ให้มากขึ้น จากนั้นนำไปเผาเซนเตอร์ที่อุณหภูมิ 1100-1300 °C โดยที่ความหนาแน่นที่ได้สูงสุดมีค่าเกือบ 99% ในช่วง อุณหภูมิ 1100-1200 °C เป็นเวลา 5 ชั่วโมง